

FIG. 1B

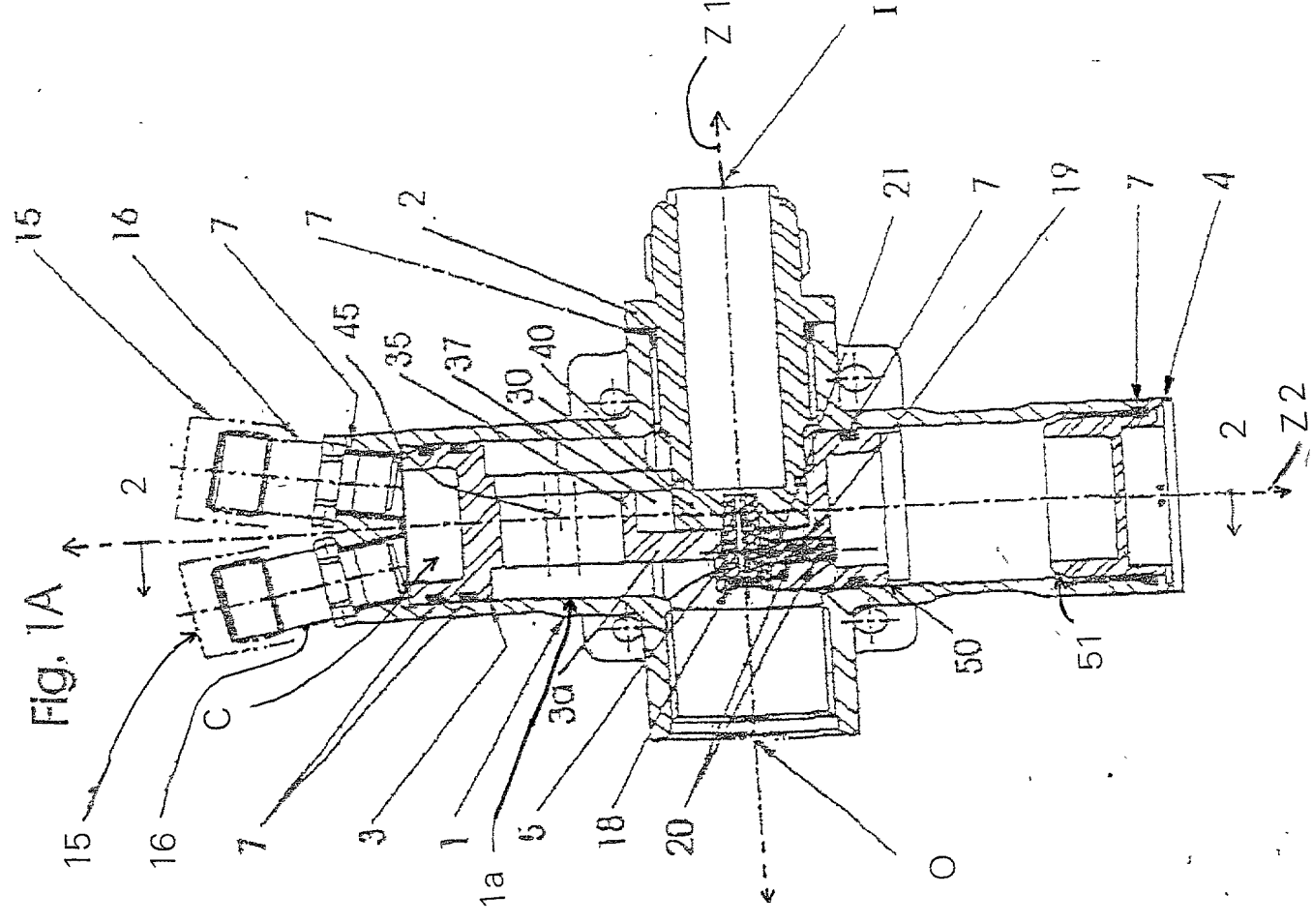


Fig. 1A

Fig. 2

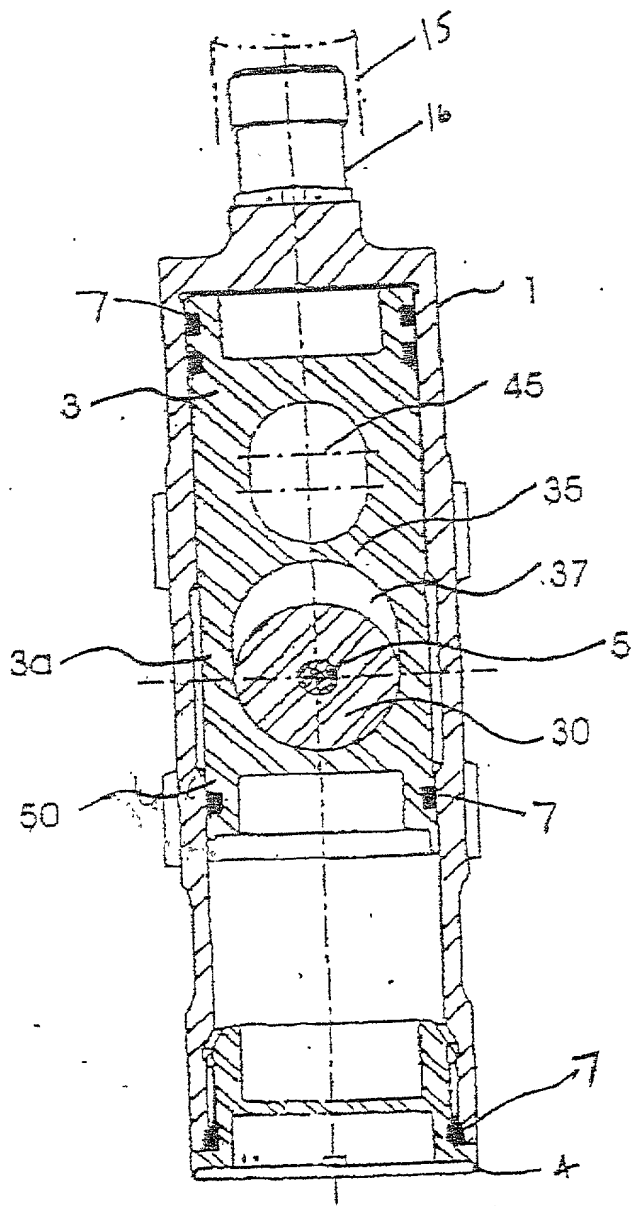


Fig. 3A

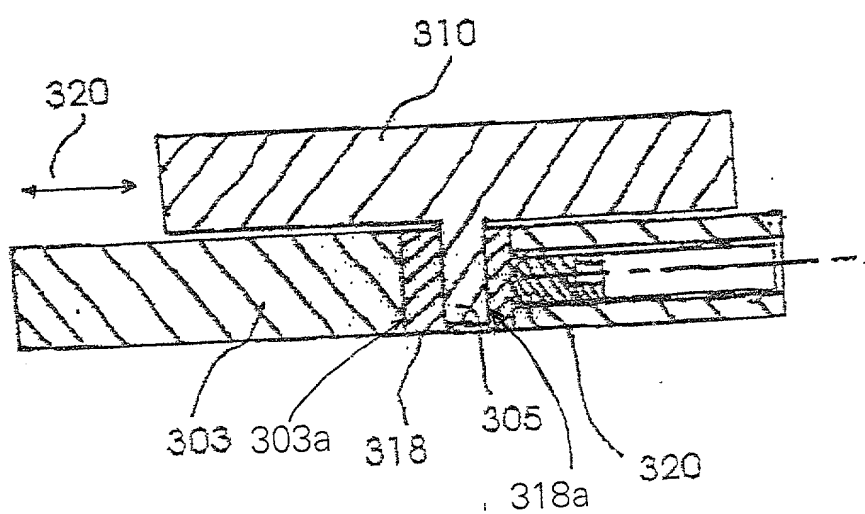


Fig. 3B

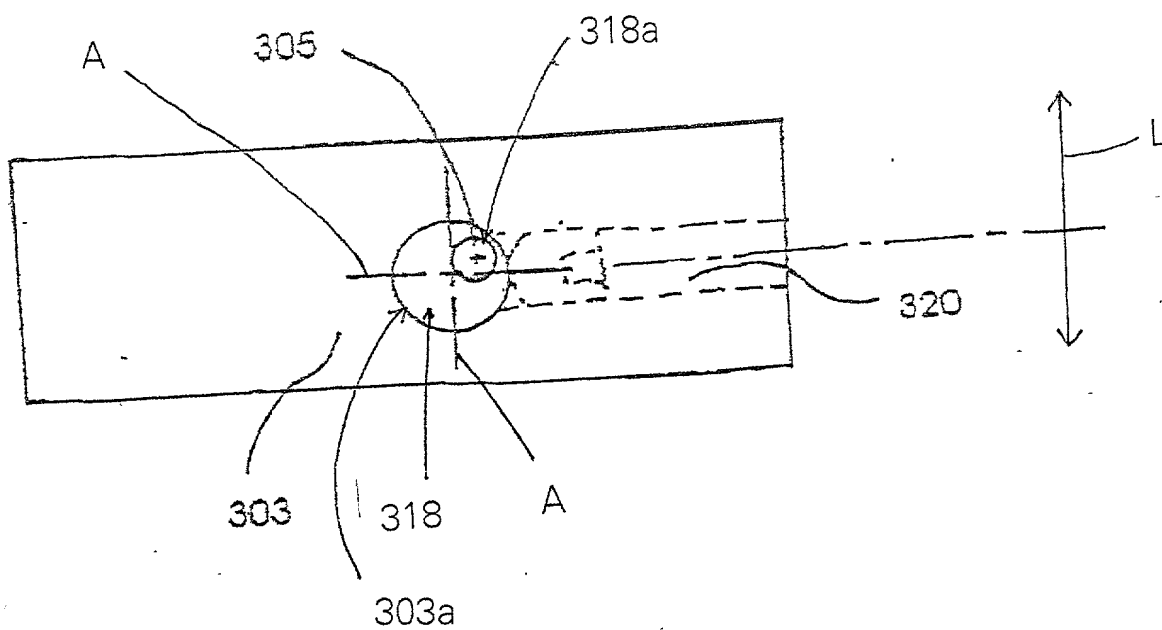


Fig. 4B

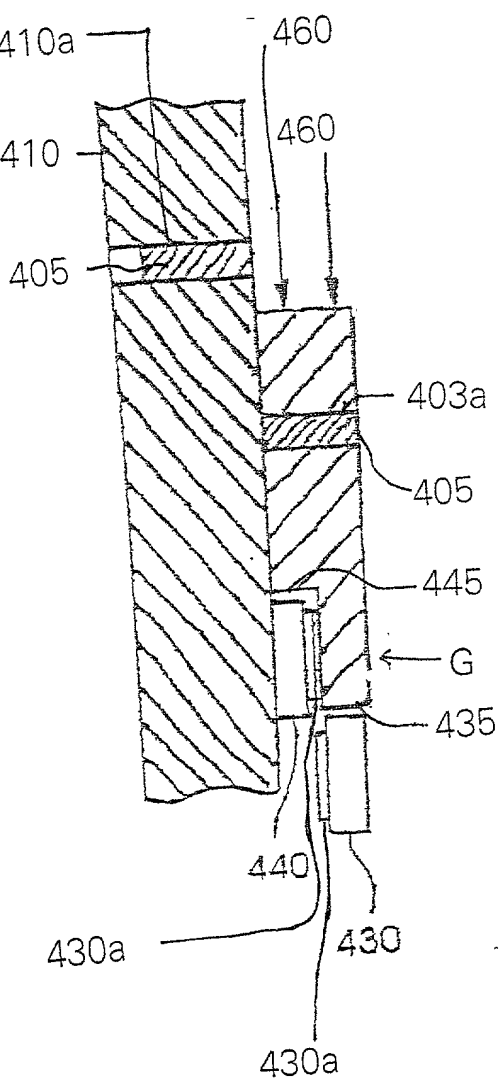


Fig. 4A

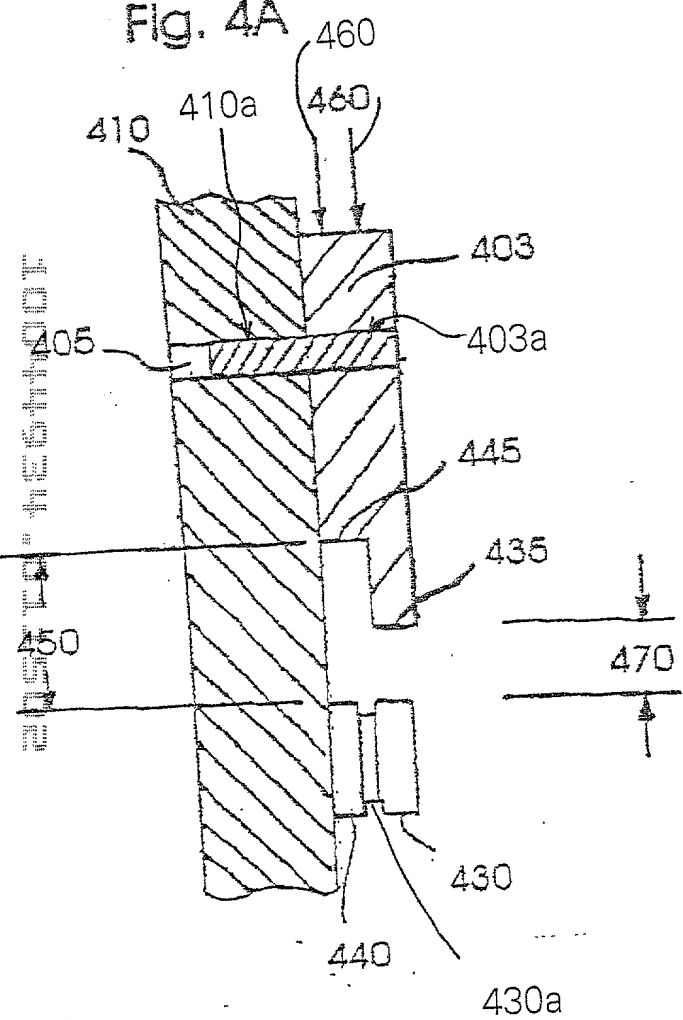


Fig. 5

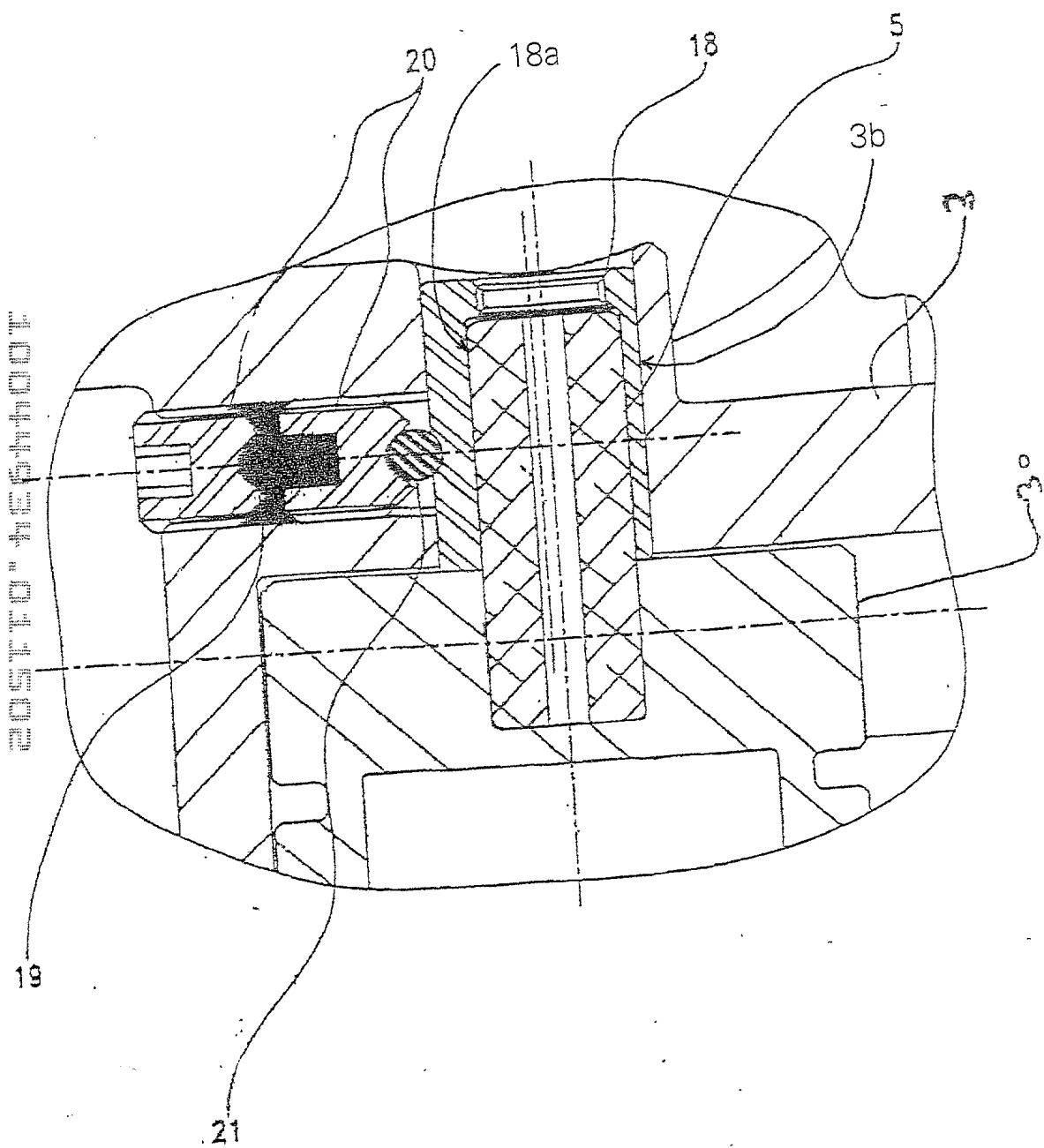


Fig. 6A

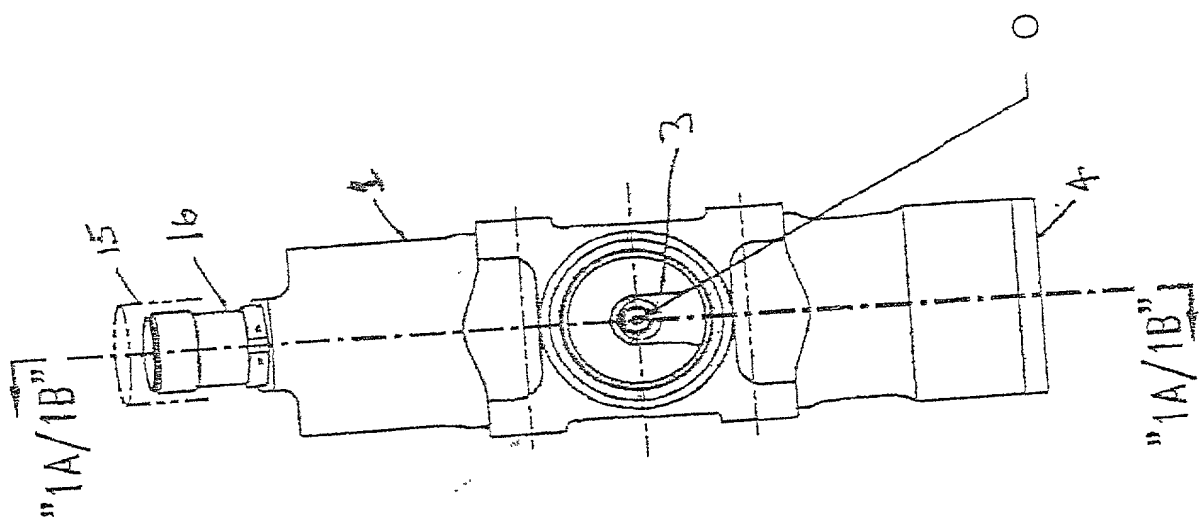
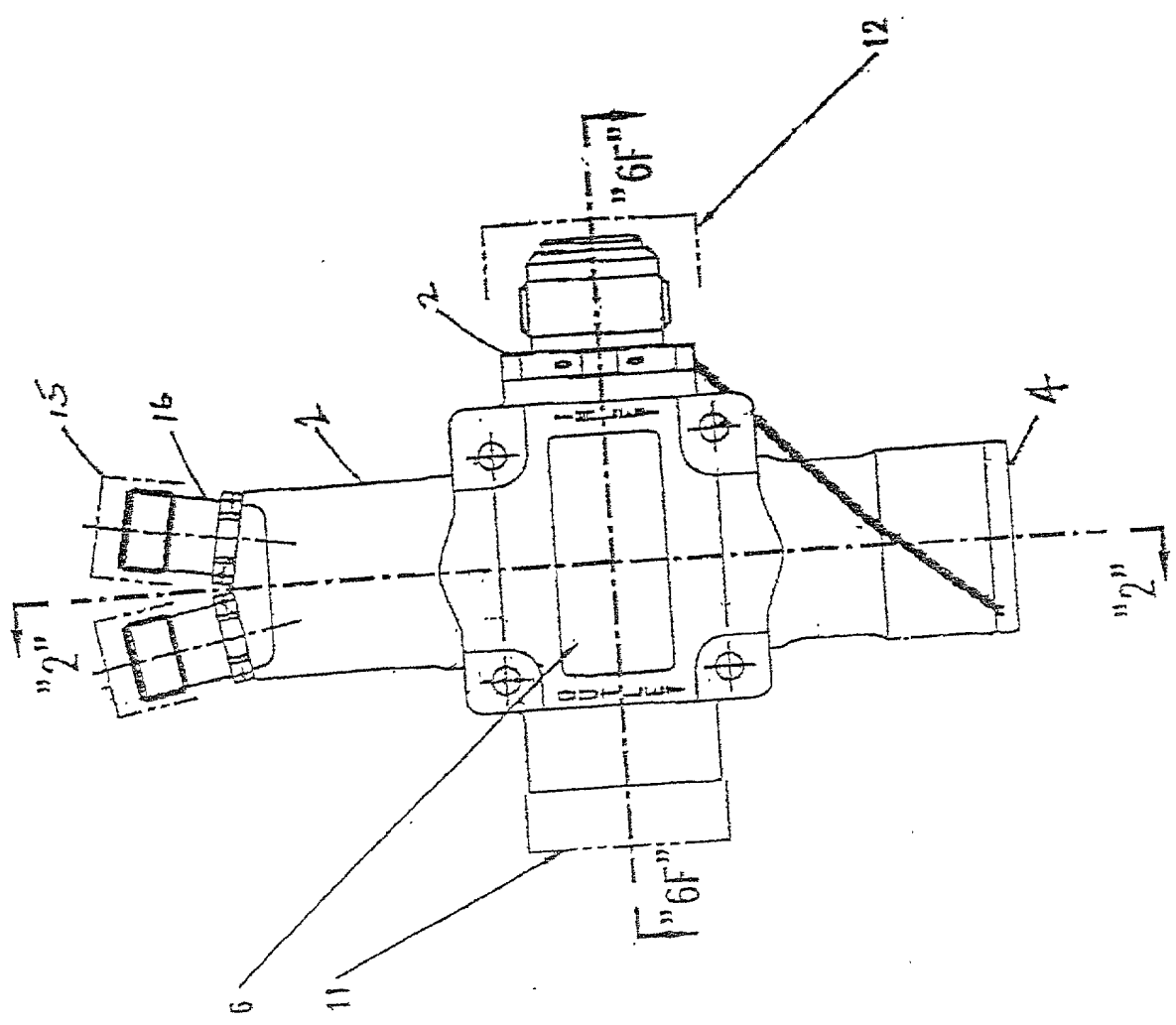
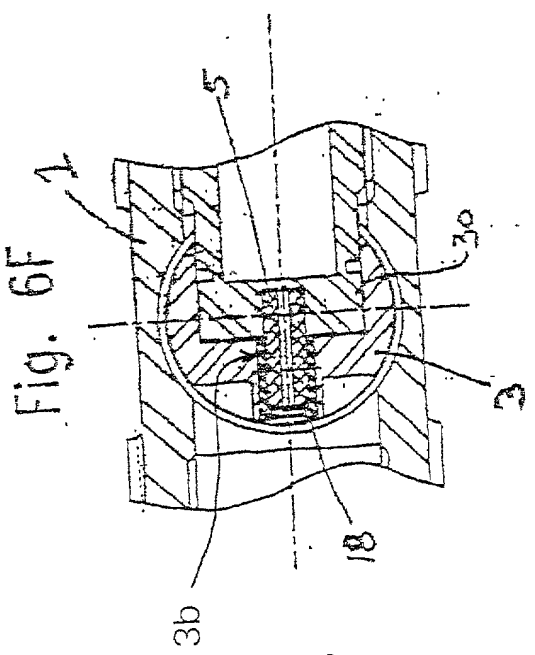
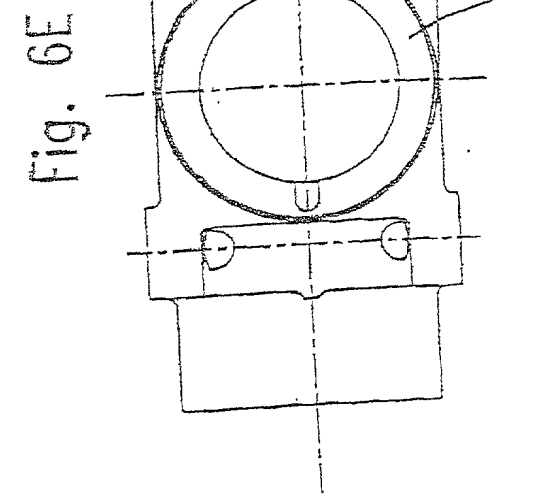
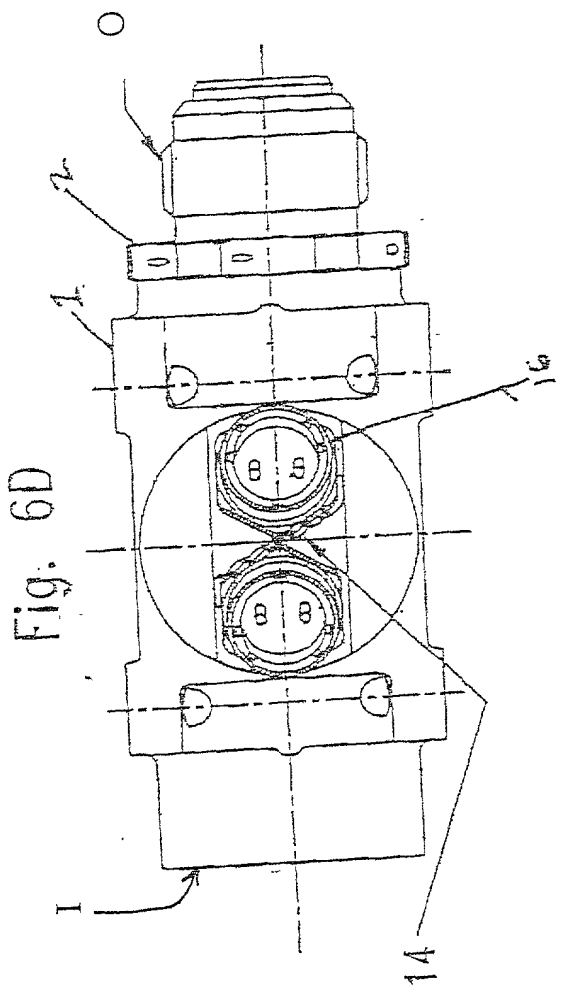
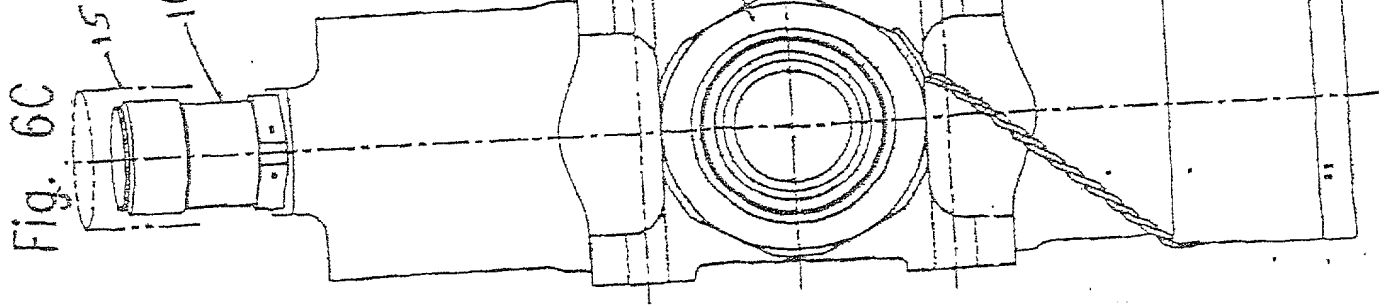


Fig. 6B





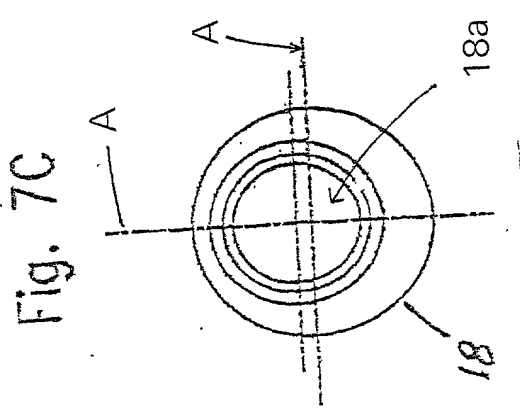
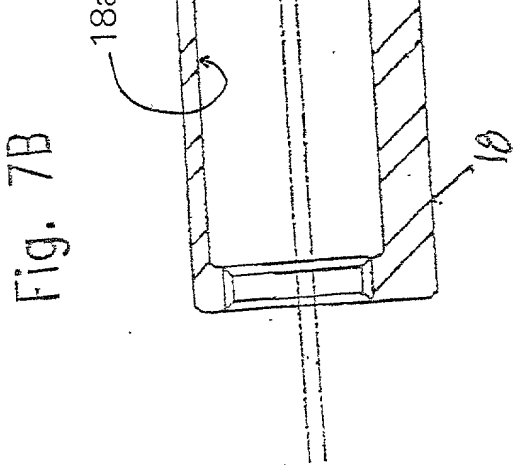
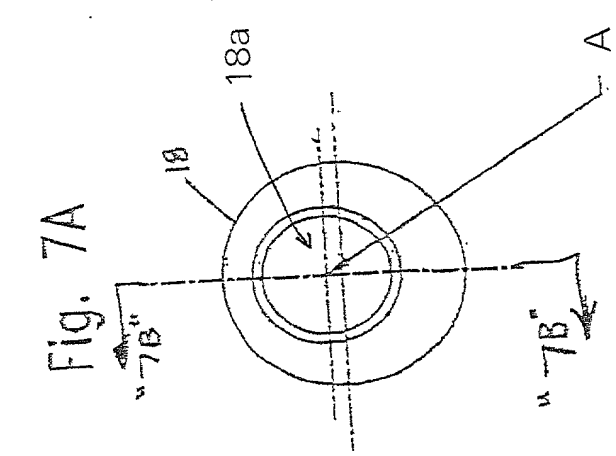


Fig. 8A

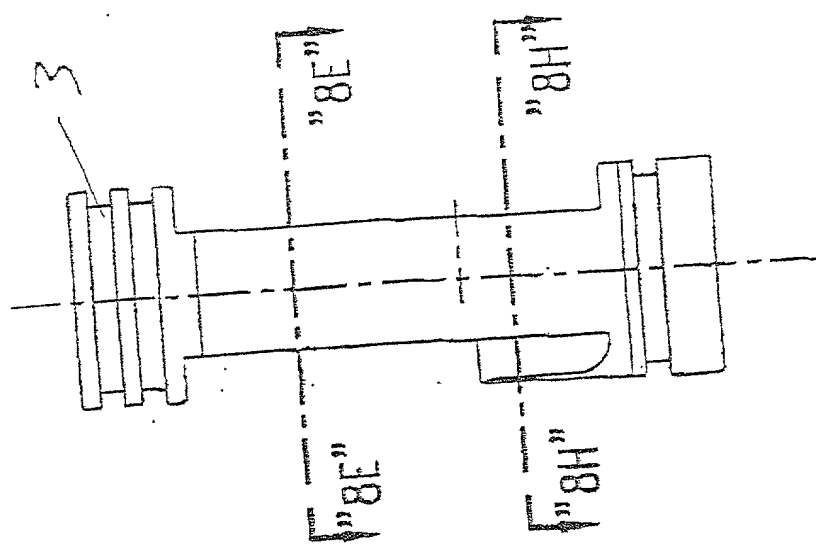


Fig. 8B

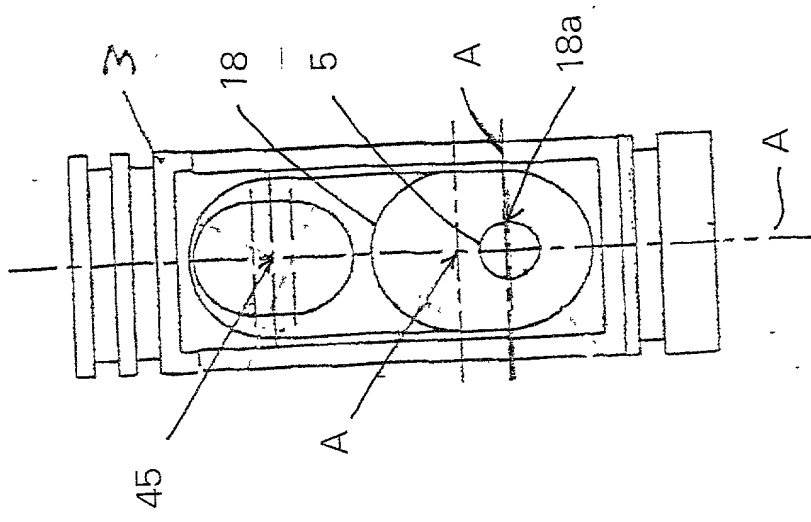


Fig. 8C

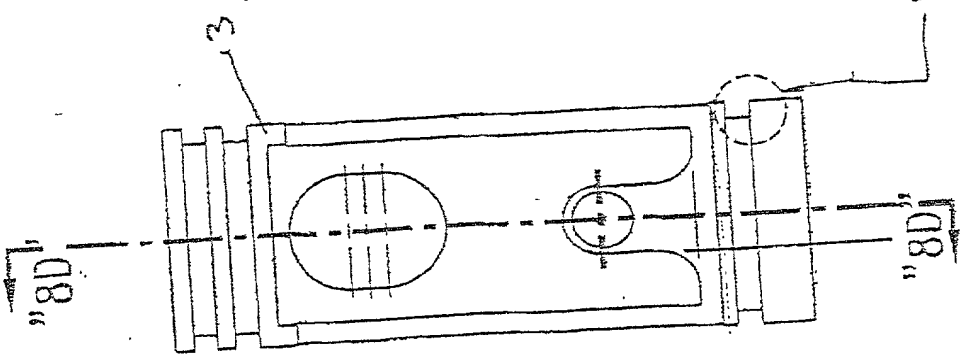
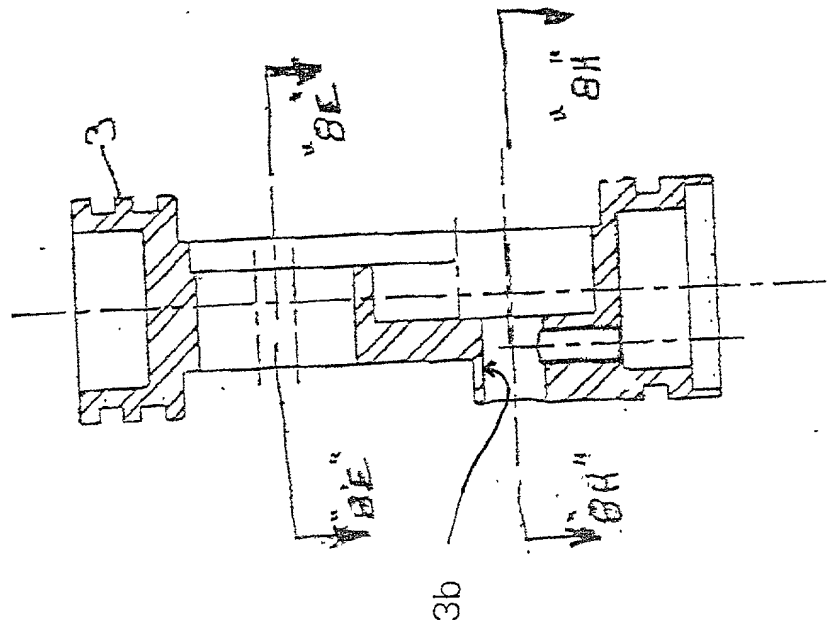


Fig. 8D



VIEW FIGURE 8C

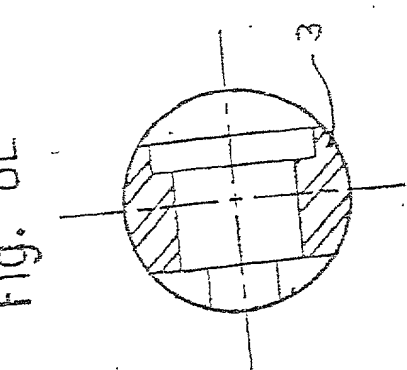
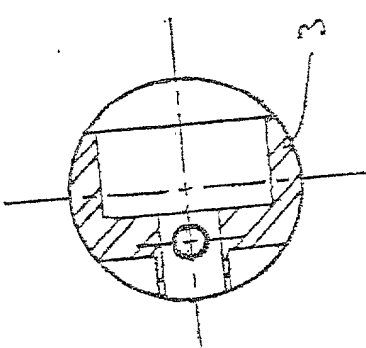


Fig. 8E



81-101

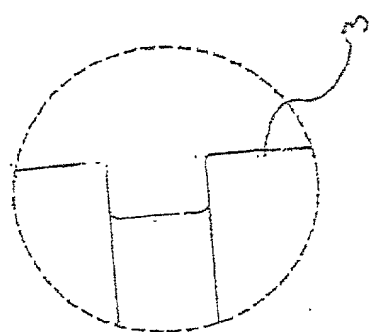


FIG. 8G

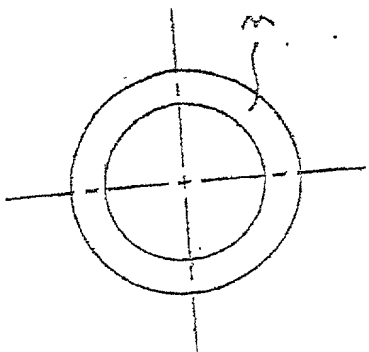


Fig. 8F

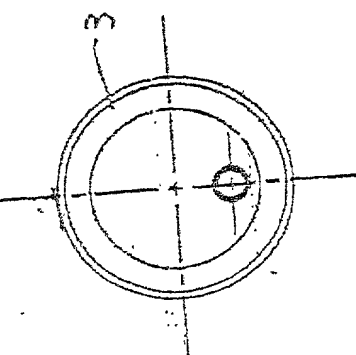


Fig. 81

